

〔研究ノート〕

## NBU GEN-HEL の開発 (第2報) — NASA ロータ風洞試験とのロータ揚力／抗力比較検証 —

大城 鳳花\*, 中山 周一\*<sup>2</sup>

\*日本文理大学工学部航空宇宙工学科 (2024年度卒業)

\*<sup>2</sup>日本文理大学工学部航空宇宙工学科

### Helicopter Rotor Simulation Program NBU GEN-HEL Development (2nd Report) — Verification Challenge to Compare with NASA Rotor Wind Tunnel Test Lift and Drag —

Fuka OSHIRO\*, Shuichi NAKAYAMA\*<sup>2</sup>

\*Department of Aerospace Engineering, School of Engineering, Nippon Bunri University (Graduate, AY2024)

\*<sup>2</sup>Department of Aerospace Engineering, School of Engineering, Nippon Bunri University

#### 1. はじめに

NASA CR (Contractor Report) として基本モデルが公開されている GEN-HEL<sup>(1)</sup>を本学で内製することを目標に2023年度から卒業研究で取り組み、2024年度には

NASA によるロータ風洞試験結果<sup>(2)</sup>と比較検証を行い、ブレード失速による非線形性を捉える等の成果を得た。本稿では、基本的な計算確認を行った第1報<sup>(3)</sup>に引き続き、NASA ロータ風洞試験結果との比較検証のうち、ロータ揚力とロータ抗力の検証結果について報告する。

#### 2. ブレード運動の数学モデル

ヘリコプタ・ブレードは、回転自由度を有するヒンジを介してハブに固定されており、ブレード回転に伴いヒンジ回りのフラップ角 $\zeta$ 、リードラグ角 $\beta$ が変化する。このフラップ角、リードラグ角に関する運動方程式は次式のように表される<sup>(3)</sup>。

$$\begin{bmatrix} mr_{cg}^2 & 0 \\ 0 & mr_{cg}^2 \end{bmatrix} \begin{Bmatrix} \ddot{\zeta} \\ \ddot{\beta} \end{Bmatrix} + \begin{bmatrix} 0.05(2mr_{cg}\Omega\sqrt{r_{cg}e}) & 0 \\ 0 & 0 \end{bmatrix} \begin{Bmatrix} \dot{\zeta} \\ \dot{\beta} \end{Bmatrix} + \begin{bmatrix} mer_{cg}\Omega^2 & 0 \\ 0 & mr_{cg}(e+r_{cg})\Omega^2 \end{bmatrix} \begin{Bmatrix} \zeta \\ \beta \end{Bmatrix} = r_a \begin{Bmatrix} Fb_x \\ -Fb_z \end{Bmatrix} \quad (1)$$

ここで、 $m$ はブレード質量、 $r_{cg}$ はブレード重心とヒンジまでの距離、 $e$ はハブ中心からヒンジまでの距離、 $\Omega$ はロータ回転角速度である。右辺は次式で表されるブレード空気力であり、 $r_a$ はヒンジからブレード空気力代表点までの距離である<sup>(3)</sup>。

$$\begin{Bmatrix} Fb_X \\ Fb_Y \\ Fb_Z \end{Bmatrix} = \frac{1}{u_0 u_{tr}} \begin{bmatrix} u_t u_{tr} & u_r u_0 & -u_t u_p \\ -u_r u_{tr} & u_t u_0 & u_r u_p \\ u_p u_{tr} & 0 & u_{tr}^2 \end{bmatrix} \begin{Bmatrix} -d \\ 0 \\ -l \end{Bmatrix} \quad (2)$$

$\{Fb_X, Fb_Y, Fb_Z\}^T$ は、ブレード相対風座標系で定義されるブレード揚力 $l$ とブレード抗力 $d$ をブレード固定座標系に変換したもので、両座標系の変換行列は、ブレード固定座標系で表したブレード相対風 $\{u_t, -u_r, u_p\}^T$ および同速度から構成される $u_{tr} = \sqrt{u_t^2 + u_r^2}$ ,  $u_0 = \sqrt{u_t^2 + u_r^2 + u_p^2}$ で表現される。ブレード相対風 $\{u_t, -u_r, u_p\}^T$ は、次式により、ブレードフラップ角、リードラグ角の他、飛行速度 $V$ 、ロータシャフト迎え角 $\alpha_s$ で表される。付録に収録するソースコードでは、 $\cos \zeta \approx 1$ ,  $\sin \zeta \approx \zeta$ ,  $\cos \beta \approx 1$ ,  $\sin \beta \approx \beta$ と近似し変数同士の積を省略している<sup>(3)</sup>。

$$\begin{Bmatrix} u_t \\ -u_r \\ u_p \end{Bmatrix} = e \begin{Bmatrix} \Omega \cos \zeta \\ \Omega \sin \zeta \cos \beta \\ \Omega \sin \zeta \sin \beta \end{Bmatrix} + r_{cg} \begin{Bmatrix} (\Omega + \dot{\zeta}) \cos \beta \\ 0 \\ -\dot{\beta} \end{Bmatrix} + V \begin{Bmatrix} \cos \alpha_s \sin(\psi + \zeta) \\ -\cos \alpha_s \cos(\psi + \zeta) \cos \beta - \sin \alpha_s \sin \beta \\ -\cos \alpha_s \cos(\psi + \zeta) \sin \beta + \sin \alpha_s \cos \beta \end{Bmatrix} \quad (3)$$

### 3. NASA ロータ風洞試験

本稿の数値計算結果はNASA-TM4183記載の風洞試験データ<sup>(2)</sup>と比較検証する。TM4183ではBaselineブレードとしてCR166309が対象としているUH-60のロータ風洞試験が行われている。TM4183からBaselineブレードの試験条件を表1に示す。TM4183のデータはNASA LangleyのTDT (Transonic Dynamic Tunnel)で取得された。TDTは風洞全体を加圧することで実機レイノルズ数に近づけた風洞試験が可能で、表1から海面上標準大気<sup>(4)</sup>の空気密度 $1.225 \text{ [kg/m}^3\text{]} = 0.0023769 \text{ [slug/ft}^3\text{]}$ よりも高い気体密度で風洞試験が行われている。さらにTM4183のデータが取得された1990年当時はR-12フロンガスが使用されていた。R-12の粘性係数はおよそ $12.5 \text{ [\mu Pa}\cdot\text{s}]$ <sup>(4)</sup>であり、空気の $18 \text{ [\mu Pa}\cdot\text{s}]$  (海面上標準大気)よりも低くレイノルズ向上効果がある。

表1の多くの条件で $M_T = 0.65$ となっているのは、マッハ数が実機に一致していることを示す。後掲する表3からUH-60実機のホバリング時ブレード翼端速度は $221 \text{ [m/s]}$ であり、海面上標準大気<sup>(4)</sup>の $15^\circ\text{C}$ での翼端マッハ数は $0.65$ である。以上から、風洞試験のレイノルズ数を $Re_{WTT}$ 、UH-60実機のレイノルズ数を $Re_{UH60}$ と表すと、風洞試験のレイノルズ数比率「%Re」は次式となる。

$$\begin{aligned} \%Re &= \frac{Re_{WTT}}{Re_{UH60}} = \frac{\rho_{WTT} V_{WTT} L_{WTT}}{\rho_{UH60} V_{UH60} L_{UH60}} \frac{\mu_{UH60}}{\mu_{WTT}} \\ &= \left( \frac{\rho_{WTT}}{\rho_{UH60}} \right) \left( \frac{V_{WTT}}{V_{UH60}} \right) \left( \frac{L_{WTT}}{L_{UH60}} \right) \left( \frac{\mu_{UH60}}{\mu_{WTT}} \right) \end{aligned}$$

$M_T = 0.65$ の条件では $\left( \frac{V_{WTT}}{V_{UH60}} \right)$ は $1.0$ 、 $\left( \frac{L_{WTT}}{L_{UH60}} \right)$ は模型縮率で $1/6$ 、速度比はR-12フロンの粘性を反映し、風洞試験のレイノルズ数の実機比「%Re」を計算し表1に示している。

$$\%Re = \frac{Re_{WTT}}{Re_{UH60}} = \left( \frac{\rho_{WTT}}{\rho_{UH60}} \right) \left( \frac{1}{6} \right) \left( \frac{18}{12.5} \right)$$

表1にある $\gamma_b$ は、ブレードに働く慣性力と空気力の比率を示すロック数と呼ばれる無次元数<sup>(5)</sup>で、 $R$ はロータ半径、 $c$ はブレード翼弦長、 $\rho$ は空気密度、 $a (= 2\pi)$ は揚力傾斜、 $I_b$ はブレードの慣性モーメントである。

$$\gamma_b = \frac{\rho a c R^4}{I_b} = \frac{\rho a c R^4}{m r_{cg}^2} \quad (4)$$

表3に後掲するUH-60実機諸元からロック数を計算すると $8.9$ となり、表1の試験条件の中では $9.35$ に近い。以上から、7(c)を検証条件として採用する。

7(c)の試験結果の一部を表2に示す。 $\alpha_s$ 、 $A_1$ 、 $B_1$ 、 $\theta_0$ 、 $\mu$ が試験条件で $C_L$ 、 $C_D$ 、 $C_Q$ が6分力天秤による計測結果である。 $\alpha_s$ はロータシャフトの迎角、 $\mu$ はアドバンス比と呼ばれるホバリング時のブレード翼端速度 $\Omega R$ と風洞風速 (飛行速度) の比である<sup>(5)</sup>。

$$\mu = \frac{V \cos \alpha_s}{\Omega R} \quad (5)$$

$A_1$ 、 $B_1$ 、 $\theta_0$ は次式によりブレードピッチ角 $\theta$ を構成し、 $\theta_0$ はコレクティブピッチ角、 $A_1$ 、 $B_1$ はサイクリックピッチ角と呼ばれる<sup>(5)</sup>。

$$\theta = \theta_0 - A_1 \cos \psi - B_1 \sin \psi \quad (6)$$

$C_L$ 、 $C_D$ 、 $C_Q$ は風洞風を基準とする慣性座標系でのロータ合力の無次元化数であり、(2)式のブレード固定座標系でのブレード空気力を座標変換行列<sup>(3)</sup>

$[\alpha_s]_{I/HF}, [\psi_j]_{HF/HR}, [\zeta_j]_{HR/BW}, [\beta_j]_{BW/B}$  により変換し,

$$\begin{pmatrix} -D_j \\ Y_j \\ -L_j \end{pmatrix} = [\alpha_s]_{I/HF} [\psi_j]_{HF/HR} [\zeta_j]_{HR/BW} [\beta_j]_{BW/B} \begin{pmatrix} Fb_{Xj} \\ Fb_{Yj} \\ Fb_{Zj} \end{pmatrix} \quad (7)$$

$j = 0, 1, 2, 3$  の各ブレード分を合算してロータ揚力  $L$ , ロータ抗力  $D$  を求める。

$$D = \sum_{j=0}^3 D_j, L = \sum_{j=0}^3 L_j \quad (8)$$

以上をロータの円面積, ホバリング時の翼端速度により無次元化し  $C_L, C_D$  を求める<sup>(2,5)</sup>。

$$\begin{cases} C_L = \frac{L}{\rho\pi R^2(\Omega R)^2} \\ C_D = \frac{D}{\rho\pi R^2(\Omega R)^2} \end{cases} \quad (9)$$

表 1 NASA ロータ風洞試験条件<sup>(2)</sup>

Blade set	NASA TM-4183					%Re	検証相手
	$\rho$ slug/ft <sup>3</sup>	$I_b$ slug-ft <sup>2</sup>	$M_T$	$\gamma_b$	Table		
Baseline (0.00469)	0.0023	0.4383	0.28	4.58	7(a)	0.24	
	0.00382		0.65	7.61	7(b)	0.40	
	0.00469		0.65	9.35	7(c)	0.49	✓
	0.006		0.65	11.95	7(d)	0.63	
	0.0075		0.65	14.94	7(e)	0.78	
	0.009		0.65	17.93	7(f)	0.94	
Baseline (0.006)	0.006	0.5602	0.628	9.35	8(a)	0.63	
	0.006		0.65	9.35	8(b)	0.63	
Baseline (0.0076)	0.0076	0.7092	0.628	9.35	9(a)	0.79	
	0.0076		0.65	9.35	9(b)	0.79	

表 2 NASA ロータ風洞結果例 (Table 7 (c) の代表例)<sup>(2)</sup>

POINT	$\alpha_s$	$A_1$	$B_1$	$\theta_0$	$\mu$	$M_{1,90}$	$C_L$	$C_D$	$C_Q$
1135	-5.2	-1.7	2.7	4	0.251	0.819	0.00246	-0.00009	0.00017
1136	-5.2	-2.5	3.4	6	0.252	0.820	0.00392	-0.00025	0.00023
1137	-5.2	-3.4	4	8	0.25	0.819	0.00536	-0.00041	0.00031
1139	-5.2	-4.2	4.7	10	0.25	0.819	0.00677	-0.00056	0.00041

時歴を図 1 に示す。

#### 4. 計算結果

##### 4-1 計算諸元およびプログラム

watlab-blog.com<sup>(6)</sup> を参考に(1)式を odeint により時間積分する python プログラムを作成した。odeint は運動方程式の変数 ( $\zeta, \beta$ ) を戻り値として返すが, ブレード空気力等の変数を引っ張り出す必要があり, その方法は stackoverflow.com<sup>(7)</sup> を参考にした。表 1 にあるように検証データは実機レイノルズに近い条件で取得されているので, 計算諸元は表 3 に示す実機諸元とする。ソースコードを付録に収録する。

##### 4-2 NASA との比較検証 (その 1)

NASA 試験<sup>(2)</sup> の  $\mu = 0.25$ ,  $\alpha_s = -5.2$  [deg],  $\theta_0 = 12$  [deg],  $A_1 = -5.2$  [deg],  $B_1 = 5.4$  [deg] で計算した

表 3 計算 (実機) 諸元<sup>(3)</sup>

記号	値	意味
$\Omega$	27 [rad/s]	ロータ回転角速度
$m$	72.5 [kg]	ブレード質量
$R$	8.178 [m]	ロータ半径
$e$	0.381 [m]	ヒンジオフセット
$r_{cg}$	5.32 [m]	ブレード重心位置
$r_a$	4.7 [m]	ブレード空力半径
$r_Q$	6.1 [m]	トルク半径
$S$	3.36 [m <sup>2</sup> ]	ブレード面積
$c$	0.527 [m]	ブレード翼弦長
$\rho$	1.225 [kg/m <sup>3</sup> ]	標準大気

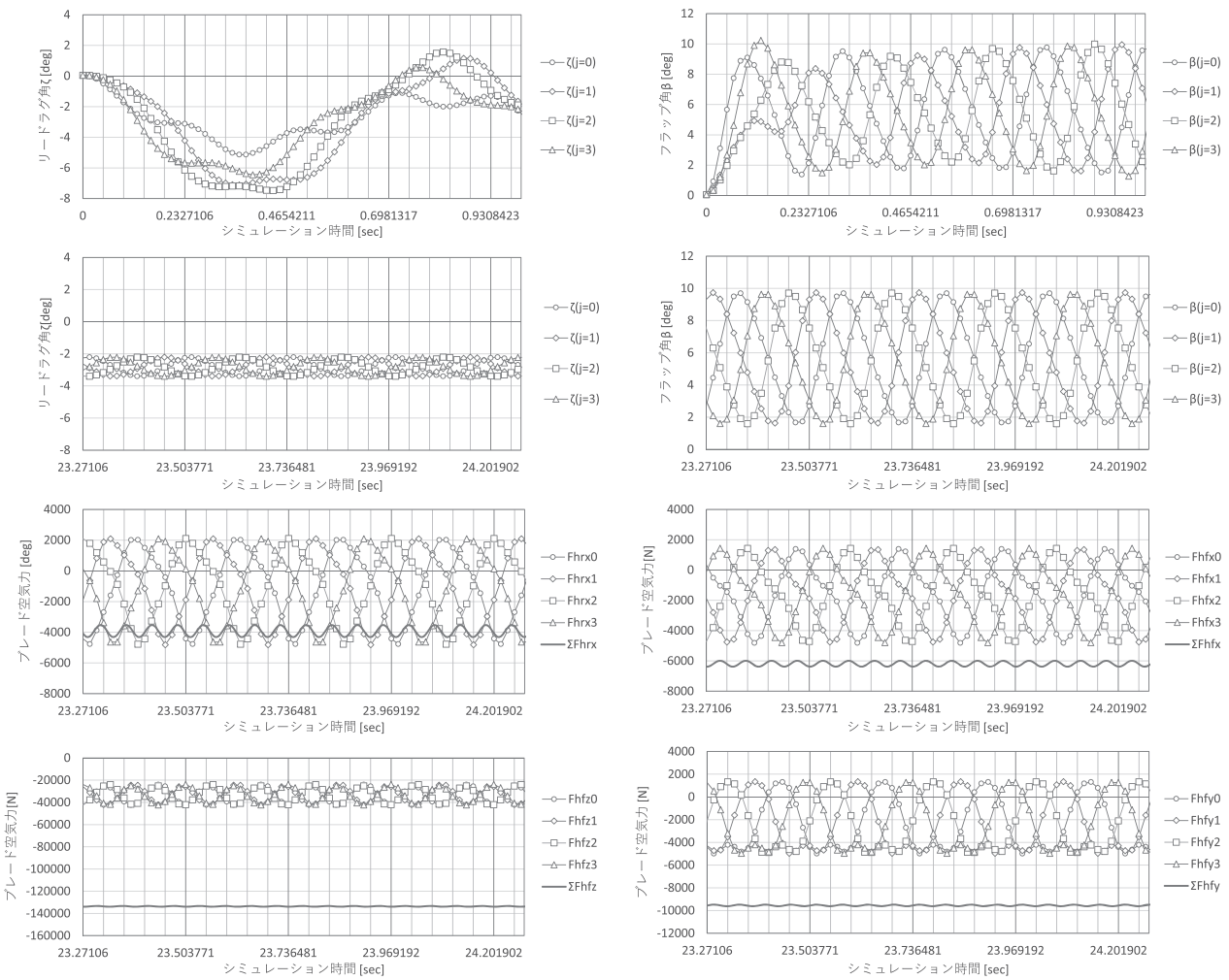


図1 検証結果 (その1) 時歴データ

第1報<sup>(3)</sup>の図11と同様に  $j = 0$  ブレード○は機体前方位置 (主目盛線) で  $\beta$  が最大, 機体後方 (真ん中の補助目盛線位置) で最小となっており, ロータが後傾していることがわかる。 $\beta, \zeta$  がロータ回転に応じた周期解となっているように, ハブ回転座標系<sup>(3)</sup>の  $Fhr_{xj}$ , ハブ固定座標系<sup>(3)</sup>の  $Fhf_{zj}$  等のブレード空気力にもロータ回転に合わせた周期変動がみられる。

同様な計算を行い, 図1以外の  $\theta_0, A_1, B_1$  の結果も併せて同じ  $\mu, \alpha$  の結果をまとめて, 縦軸: 揚力係数, 横軸: 抗力係数でグラフ化した結果を図2に示す。

4-3 NASA との比較検証 (その2)

図2においてNASA 試験結果はシャフト迎角方向に概ね沿っているのに対し計算結果は大きくずれている。TM4183に「At each collective pitch setting, the cyclic pitch was used to remove rotor first harmonic flapping with respect to the rotor shaft.」とあり,  $B_1, A_1$  の設

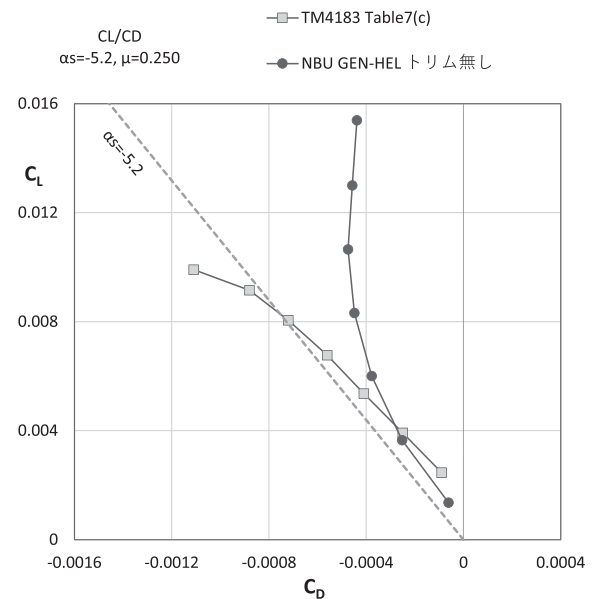


図2 NASA 試験条件での計算結果

定方法が述べられている。 $B_1$ ,  $A_1$ を TM4183値に合わせるのではなく、NBU Gen-Helで $B_1$ ,  $A_1$ を同じように設定する方法を検討する。計算されたフラップ角 $\beta$ を

次式で表した際に、前記引用部は $a_1 = 0$ ,  $b_1 = 0$ を意味するので、これを達成する $B_1$ ,  $A_1$ を繰り返し計算で求める。

$$\beta = a_0 + a_1 \cos \psi + b_1 \sin \psi + a_2 \cos 2\psi + b_2 \sin 2\psi \cdots, \quad (\psi = \Omega t) \quad (10)$$

いま繰り返し計算の途中  $i$  番目とし、 $B_{1,i}$ ,  $A_{1,i}$ に対する計算結果を $a_{1,i} (\neq 0)$ ,  $b_{1,i} (\neq 0)$ と表す。 $(i+1)$ 番目の状態は次式で表すことができる。

$$\begin{cases} a_{1,i+1} = a_{1,i} + \left(\frac{\partial a_1}{\partial B_1}\right)_i (B_{1,i+1} - B_{1,i}) + \left(\frac{\partial a_1}{\partial A_{1S}}\right)_i (A_{1,i+1} - A_{1,i}) \\ b_{1,i+1} = b_{1,i} + \left(\frac{\partial b_1}{\partial B_1}\right)_i (B_{1,i+1} - B_{1,i}) + \left(\frac{\partial b_1}{\partial A_{1S}}\right)_i (A_{1,i+1} - A_{1,i}) \end{cases} \quad (11)$$

行列形式に書き直すと次となる。 $[\Phi_i]$ はヤコビ行列である。

$$\begin{Bmatrix} a_{1,i+1} \\ b_{1,i+1} \end{Bmatrix} = \begin{Bmatrix} a_{1,i} \\ b_{1,i} \end{Bmatrix} + \begin{bmatrix} \left(\frac{\partial a_1}{\partial B_1}\right)_i & \left(\frac{\partial a_1}{\partial A_{1S}}\right)_i \\ \left(\frac{\partial b_1}{\partial B_1}\right)_i & \left(\frac{\partial b_1}{\partial A_{1S}}\right)_i \end{bmatrix} \begin{Bmatrix} B_{1,i+1} - B_{1,i} \\ A_{1,i+1} - A_{1,i} \end{Bmatrix} = \begin{Bmatrix} a_{1,i} \\ b_{1,i} \end{Bmatrix} + [\Phi_i] \begin{Bmatrix} B_{1,i+1} - B_{1,i} \\ A_{1,i+1} - A_{1,i} \end{Bmatrix} \quad (12)$$

操舵量について、 $a_{1,i}$ ,  $b_{1,i}$ をゼロに近づけるための修正量を $\delta B_{1,i}$ ,  $\delta A_{1,i}$ で表し、

$$\begin{cases} B_{1,i+1} = B_{1,i} + \delta B_{1,i} \\ A_{1,i+1} = A_{1,i} + \delta A_{1,i} \end{cases} \quad (13)$$

繰り返し計算の目標として $a_{1,i+1} = b_{1,i+1} = 0$ であることを踏まえると

$$\begin{Bmatrix} \delta B_{1,i} \\ \delta A_{1,i} \end{Bmatrix} = -[\Phi_i]^{-1} \begin{Bmatrix} a_{1,i} \\ b_{1,i} \end{Bmatrix} \quad (14)$$

となる。線形であれば、これで操舵修正量を求めることができるが、本問題は非線形なので(14)式で得られた操舵修正量に対して1.0より小さい係数(付録に示すプログラムでは0.3)を乗じて操舵量の修正を行う操作を繰り返し、 $a_1 \approx b_1 \approx 0$ に近づいたかの収束判定を行う。ヤコビ行列 $[\Phi_i]$ は次式により数値計算で求める。

$$[\Phi_i] = \begin{bmatrix} \frac{a_1(B_{1,i} + \delta, A_{1,i}) - a_1(B_{1,i}, A_{1,i})}{\delta} & \frac{a_1(B_{1,i}, A_{1,i} + \delta) - a_1(B_{1,i}, A_{1,i})}{\delta} \\ \frac{b_1(B_{1,i} + \delta, A_{1,i}) - b_1(B_{1,i}, A_{1,i})}{\delta} & \frac{b_1(B_{1,i}, A_{1,i} + \delta) - b_1(B_{1,i}, A_{1,i})}{\delta} \end{bmatrix} \quad (15)$$

以上の繰り返し計算により $a_1 \approx b_1 \approx 0$ となる $B_1$ ,  $A_1$ を求めた場合の計算結果を図3に示す。図2と異なり、フラップ角から $1\Omega$ の周期変動が無くなっていることが確認できる。 $Fhr_{Zj}$ などのブレード空気力を見ると、振幅は図2とほぼ同じレベルであるが、その中心値はゼロに近づき、 $j=0, 1, 2, 3$ の和は小さくなっている。図3以外の $\theta_0$ の結果も併せて同じ $\mu$ ,  $\alpha_s$ の結果をまとめてグラフ化した結果を図4に示す。

$a_1$ ,  $b_1$ をゼロに近づけた▲はNASA試験結果に近くなった。トリムの方法として、シャフトに対してロータ面を直交させることから $C_L$ ,  $C_D$ のラインはシャフト迎角の方向を向くことが確認できる。なお、ロータ揚力が高い場合、(14)式の繰り返し計算の収束が難しい場合がある。

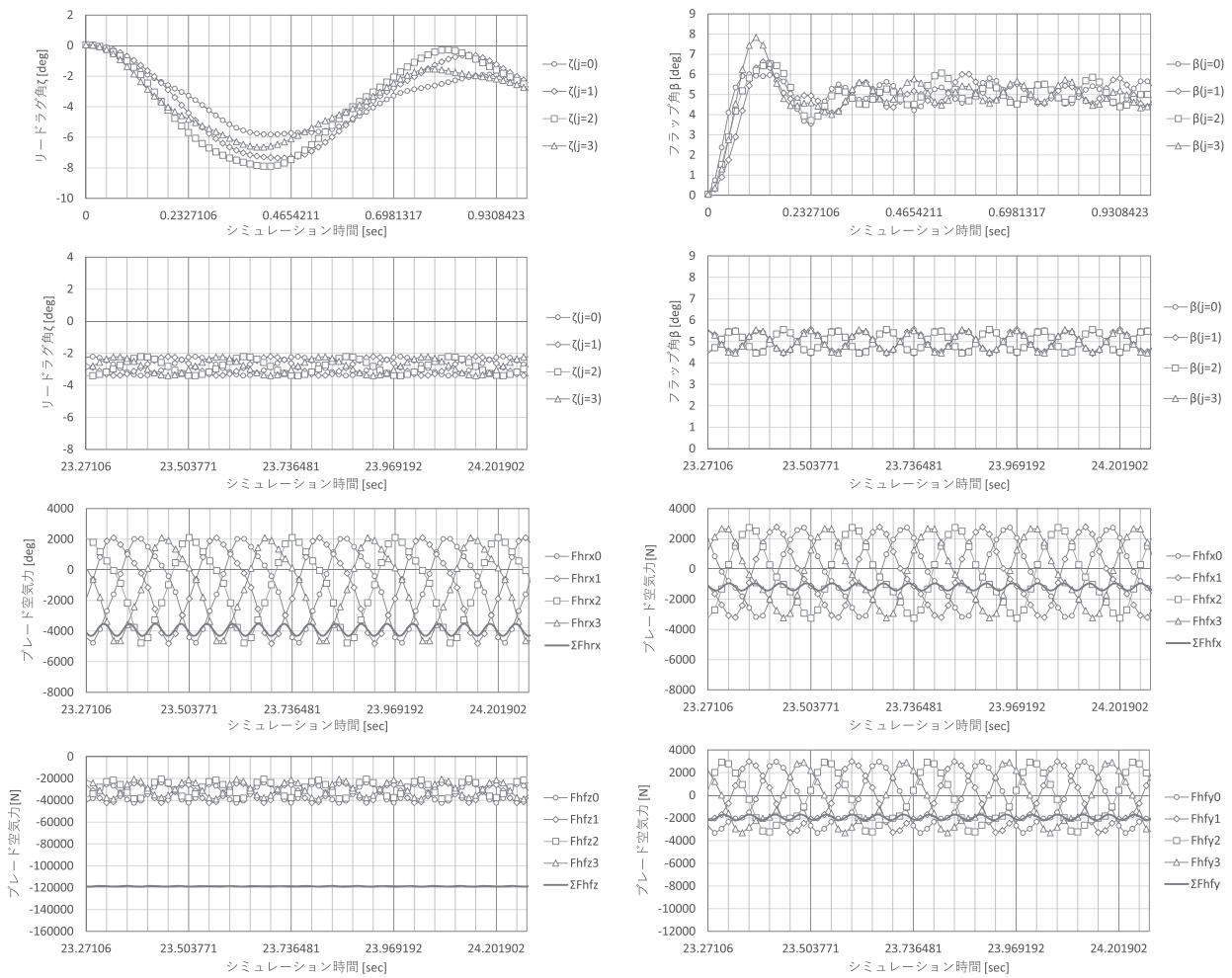


図3 NASA 比較検証結果 (その2) 時歴データ

4-4 NASA との比較検証 (その3)

ただし, NASA 風洞試験結果は, 揚力係数0.008以上では合力が前に垂れてきている。この要因としてブレードが失速に近づいていることが考えられる。

4-3 までの計算では第1報(28式)に示すように, ブレード断面の揚力係数は迎角に比例, 抗力係数は一定と仮定しており, 失速は考慮されていない。

一方CRにはUH-60ブレードで使われているSC1095翼の揚力/抗力データが掲載されている。図5に示すように高い迎角では失速と思われる揚力の増加の頭打ち, 抗力増を示している。そこで, 失速の影響を評価するため, 第1報の(28式)に代わりCR<sup>(1)</sup>の $c_l, c_d$ テーブルのM=0.4のデータに線形補間して使用する計算を行った。0.01で一定と仮設定していた抗力係数についても同様な補間を行った。その結果を図6に■で示す。図6から, ロータ揚力係数0.008以上の領域でロータ合力が前垂れする様子をNBU Gen-Helは捉えており, 前垂れの要因はブレード失速である可能性が高いことが分かった。

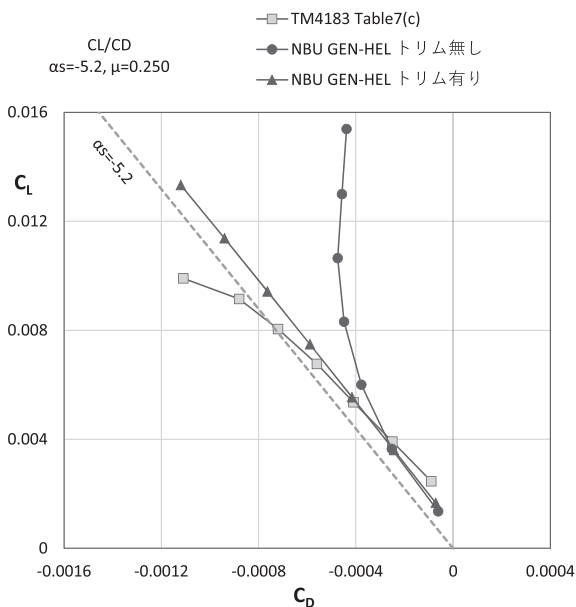


図4 検証結果 (その2) 揚抗特性

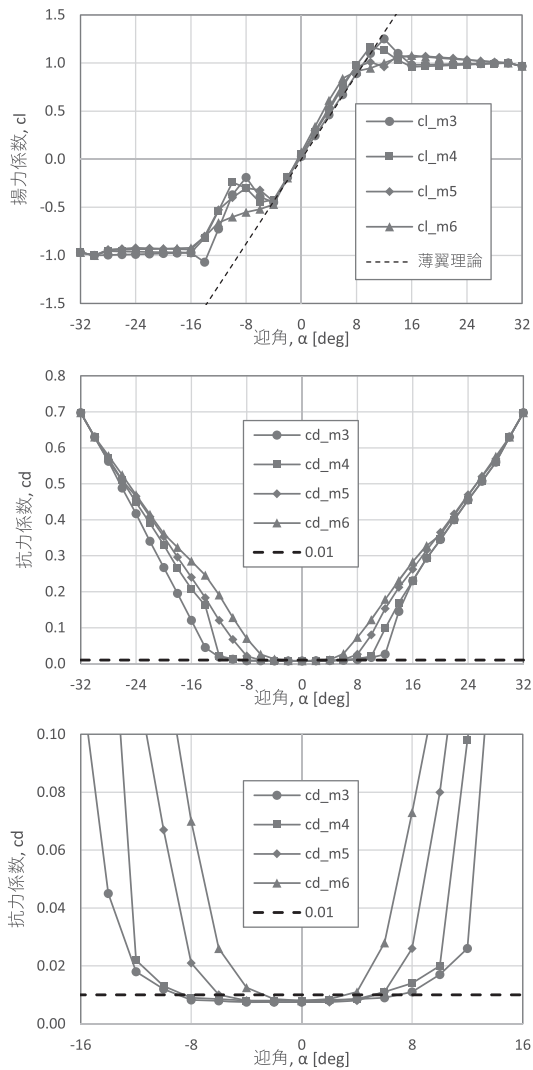


図5 2次元翼テーブルデータ

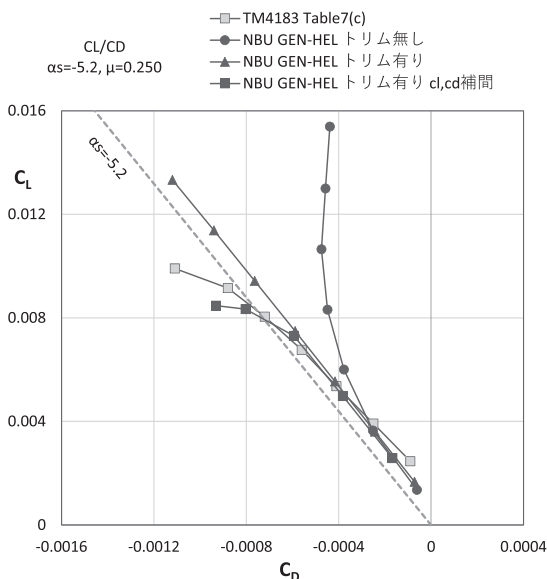


図6 検証結果 (その2) 揚抗特性

図5の2次元翼型データを使うことで、図6に示されるようにロータの X 軸方向の力が増え合力が前垂れする理由について考察する。参考文献(8)にあるように、ヘリコプタが前進飛行時に機体飛行速度とブレード回転速度が反対向きとなる後退側で迎角が大きくなる。CR が対象としている UH-60と同じ上方からみて反時計回りにロータが回転するヘリコプタの場合、ブレードの失速は主に左舷側で発生することになる。左舷側でのブレード失速は、ブレード相対風座標系でのブレード抗力を増大させるが、その方向をハブ固定座標系から見ると機体前方方向となる。このため、ブレード失速により X 軸方向の力が増えることになる。

5. おわりに

公開されている NASA CR<sup>(1)</sup>に基づいたシミュレーションプログラムを開発し、NASA TM<sup>(2)</sup>にある実機レイノルズ数のロータ風洞試験結果と比較検証した。ロータ6分力のうちロータ揚力とロータ抗力の関係について、失速効果を反映することで、ブレードの失速による高揚力域での非線形性を捉えることができた。

付録に収録するプログラムについて、2024年度卒業研究以降の課題を列挙しておく。

- F と F2 で同じ計算が重複してコーディングされており、信頼性に難があるのを改善する。
- 第1報(4)式  $r_a$  等の間違いを修正する。
- 本稿では 4-3 を除き50秒間計算させているが、途中で収束判定をすて計算を止める。本稿に示したフラッピングの 1  $\Omega$  成分の導出するアルゴリズムと似たようなものになるはず。

参考文献

- (1) Howlett, J. J., UH-60A Black Hawk engineering simulation program. Volume 1 : Mathematical model, NASA-CR-166309 (1981)
- (2) Singleton, Jeffrey D. Yeager, William T., Jr., Wilbur, Matthew L., Performance Data from a Wind-Tunnel Test of Two Main-rotor Blade Designs for a Utility-Class Helicopter, NASA-TM-4183 (1990)
- (3) 大城鳳花, 中山周一, NBU GEN-HEL の開発 (第1報), 日本文理大学紀要, 第53巻第2号
- (4) 高橋満男, 高橋信次, 岩崎廣次, 気体ジクロロジフルオロメタン (R-12) の粘性率, 化学工学論

- 文集／10巻1号（1984）
- （5）加藤寛一郎, 今永勇生, ヘリコプタ入門, 東京大学出版会（1985）
- （6）<https://watlab-blog.com/2023/02/25/scipy-odeint/>（2025年6月16日閲覧）
- （7）<https://stackoverflow.com/questions/74143515/how-to-return-ordinary-variables-from-scipy-odeint>（2025年6月16日閲覧）
- （8）航空技術協会編集, 図解ヘリコプタ入門, 航空技術協会（1987）

---

（2025年6月16日受理）

## 付録

```

1 # NBU Gen-Hel 20250614
2 # programmed by Fuka Oshiro 2025. 6. 14
3
4 import numpy as np
5 from scipy.integrate import odeint
6 from scipy import interpolate
7 import datetime
8 import time
9
10 def model(omg, r_cg, e): # define model
11
12     m = 72.5 #kg
13
14     M = np.array([[m * r_cg**2, 0],
15                  [0, m * r_cg**2]])
16
17     D = np.array([[0.05 * (2 * m * r_cg * omg * np.sqrt(r_cg * e)), 0],
18                  [0, 0]])
19
20     K = np.array([[m * e * r_cg * omg**2, 0],
21                  [0, m * r_cg * (e + r_cg) * omg**2]])
22
23     return M, D, K
24
25 def f(var, t, M, D, K, omg, r_a, e, Vc, Vs, j, th0, A1s, B1s, S, rho, aero): # harmonic oscillator
26
27     psi = omg * t + np.pi * j / 2
28
29     th = th0 - A1s * np.cos(psi) - B1s * np.sin(psi) #rad (6)式
30
31     ut = ((e + r_a) * omg + r_a * var[2]) + (Vc * np.sin(psi) + var[0] * Vc * np.cos(psi)) (3)式
32     ur = -(e * omg * var[0]) + (-Vc * np.cos(psi) + var[0] * Vc * np.sin(psi)) - Vs * var[1] (3)式
33     up = (-r_a * var[3]) + (-var[1] * Vc * np.cos(psi) + Vs) (3)式
34
35     u2tr = ut*ut + ur*ur
36     u2trp = ut*ut + ur*ur + up*up
37     utr = np.sqrt(u2tr)
38     utr_p = np.sqrt(u2trp)
39
40     al = np.arctan((ut * np.tan(th) + up) / (utr - up * ut * np.tan(th) / utr)) #rad (第1報(29)式)
41
42     if aero == 1 :
43         al_deg = al * 180 / np.pi #deg
44         if al_deg >= -32 and al_deg <= 32:
45             cl = fitted_curve_cl(al_deg)
46             cd = fitted_curve_cd(al_deg)
47         else :
48             cl = fitted_curve_cl_HighAngle(al_deg)
49             cd = fitted_curve_cd_HighAngle(al_deg)
50     else :
51         cl = 5.39 * al (第1報(28), (30)式)
52         cd = 0.01
53
54     # ブレード相対風座標系からブレード固定座標系に変換
55     WtoB = np.array([[ ut * utr, ur * utr_p, - ut * up], (2)式
56                    [- ur * utr, ut * utr_p, ur * up], (2)式
57                    [ up * utr, 0, u2tr]], (2)式
58                    / (utr * utr)) (2)式
59
60     # (ブレード座標系)
61     lift = 0.5 * rho * u2trp * S * cl (第1報(22)式)
62     drag = 0.5 * rho * u2trp * S * cd (第1報(22)式)
63     Fw = np.array([-drag, 0, -lift]) (第1報(22)式)
64
65     # 外力
66     Fb = WtoB @ Fw (2)式
67
68     x = var[0:int(len(var) / 2)]
69     v = var[int(len(var) / 2)::]
70
71     Mb = r_a * np.array([Fb[0], -Fb[2]]) (第1報(31)式)
72
73     # 質量行列の逆行列
74     M_inv = np.linalg.inv(M)
75
76     # 運動方程式
77     a = -(M_inv @ K) @ x - (M_inv @ D) @ v + (M_inv @ Mb)
78
79     output = np.concatenate([v, a])
80
81     return output
82
83 def f2(var, t, omg, r_a, e, Vc, Vs, j, th0, A1s, B1s, S, rho, aero): # harmonic oscillator
84     (84~125行は、26~67行と同じ)
85
86     # ブレード固定座標系からハブブレード中間座標系に変換
87     BtoHB = np.array([[1, 0, 0], (第1報(3)式の逆)
88                      [0, np.cos(var[1]), np.sin(var[1])], (第1報(3)式の逆)
89                      [0, -np.sin(var[1]), np.cos(var[1])]]) (第1報(3)式の逆)
90
91     Fhb = BtoHB @ Fb
92
93     # ハブブレード中間座標系からハブ回転座標系に変換
94     HBtoHR = np.array([[ np.cos(var[0]), np.sin(var[0]), 0], (第1報(6)式の逆)
95                       [-np.sin(var[0]), np.cos(var[0]), 0], (第1報(6)式の逆)
96                       [ 0, 0, 1]]) (第1報(6)式の逆)
97
98     # ブレード1枚あたりの空気力 (ハブ回転座標系)
99     # トルクQの計算で使う
100    Fhr = HBtoHR @ Fhb
101
102

```

```

142 # ハブ回転座標系からハブ非回転座標系に変換
143 HRtoHF = np.array([[np.sin(psi), -np.cos(psi), 0],
144                    [np.cos(psi), np.sin(psi), 0],
145                    [0, 0, 1]])
146
147 # ブレード1枚当たりの空気力 (ハブ非回転座標系)
148 Fhf = HRtoHF @ Fhr
149
150 return Fw, Fb, Fhb, Fhr, Fhf
151
152 def Beta_Coef():
153
154     row = 12772
155     row1 = row + count
156     X1 = X[row:row1, :] # [1, cos(psi), sin(psi)]
157     y = var[row:row1, 1] # j1のβを1周分スライス
158
159     #BetaCoef = [const, beta1_c, beta1_s]
160     BetaCoef0 = np.linalg.pinv(X1.T @ X1) @ X1.T @ y
161     BetaCoef0 = BetaCoef0.reshape(1, 3)
162
163     row = 12832
164     row1 = row + count
165     X1 = X[row:row1, :] # [1, cos(psi), sin(psi)]
166     y = var[row:row1, 1] # j1のβを1周分スライス
167
168     #BetaCoef = [const, beta1_c, beta1_s]
169     BetaCoef1 = np.linalg.pinv(X1.T @ X1) @ X1.T @ y
170     BetaCoef1 = BetaCoef1.reshape(1, 3)
171
172     d_BetaCoef = abs((BetaCoef1 - BetaCoef0) * 180 / np.pi) # deg
173
174     if np.any(d_BetaCoef > 0.1): # deg 収束判定
175         print('Betaが収束していません')
176     # else:
177     #     print('d_BetaCoef '+str(itr)+str(d_BetaCoef))
178
179     return BetaCoef1
180
181 if __name__ == '__main__': # メイン処理
182
183     # cl, cd補間
184     alpha = [-32, -30, -28, -26, -24, -22, -20, -18, -16, -14, -12, -10, -8, -6, -4, -2, 0, 2, 4, 6, 8, 10, 12, 14, 16, 18, 20, 22, 24, 26, 28, 30, 32]
185
186     cl_m3 = [-0.9675, -1.0, -0.996, -0.992, -0.988, -0.984, -0.98, -0.976, -0.972, -1.07, -0.724, -0.37, -0.19, -0.39, -0.45, -0.19,
187            0.03, 0.243, 0.46, 0.67, 0.89, 1.1, 1.25, 1.1, 0.98, 0.9828, 0.9856, 0.9884, 0.9912, 0.994, 0.997, 1, 0.9675]
188     cl_m4 = [-0.9675, -1, -0.955, -0.96, -0.962, -0.964, -0.966, -0.968, -0.97, -0.82, -0.535, -0.24, -0.3, -0.45, -0.42, -0.185,
189            0.05, 0.28, 0.51, 0.75, 0.98, 1.17, 1.13, 1.03, 0.96, 0.9657, 0.9714, 0.9771, 0.9828, 0.9885, 0.9942, 1, 0.9675]
190     cl_m5 = [-0.9675, -1, -0.94, -0.93, -0.92, -0.925, -0.93, -0.935, -0.94, -0.8, -0.525, -0.4, -0.3, -0.32, -0.44, -0.195, 0.05,
191            0.295, 0.53, 0.78, 0.96, 1.01, 0.96, 1.08, 1.06, 1.07, 1.06, 1.05, 1.035, 1.02, 1.01, 1, 0.9675]
192     cl_m6 = [-0.9675, -1, -0.946, -0.942, -0.938, -0.934, -0.93, -0.926, -0.922, -0.805, -0.66, -0.6, -0.55, -0.52, -0.47, -0.195, 0.075,
193            0.34, 0.613, 0.84, 0.915, 0.947, 1, 1.054, 1.08, 1.063, 1.053, 1.042, 1.031, 1.02, 1.01, 1, 0.9675]
194
195     cd_m3 = [0.6975, 0.63, 0.562, 0.488, 0.417, 0.34, 0.267, 0.195, 0.12, 0.045, 0.018, 0.012, 0.0082, 0.0079, 0.0075, 0.0075, 0.0075,
196            0.008, 0.0085, 0.009, 0.011, 0.017, 0.026, 0.145, 0.23, 0.293, 0.345, 0.4, 0.455, 0.507, 0.56, 0.63, 0.6975]
197     cd_m4 = [0.6975, 0.63, 0.57, 0.51, 0.448, 0.39, 0.33, 0.265, 0.208, 0.161, 0.022, 0.013, 0.009, 0.0085, 0.008, 0.008, 0.008,
198            0.0082, 0.0085, 0.011, 0.014, 0.02, 0.098, 0.169, 0.23, 0.293, 0.345, 0.4, 0.455, 0.507, 0.56, 0.63, 0.6975]
199     cd_m5 = [0.6975, 0.63, 0.564, 0.51, 0.465, 0.408, 0.353, 0.296, 0.24, 0.183, 0.12, 0.067, 0.021, 0.01, 0.008, 0.0075, 0.0075,
200            0.0075, 0.008, 0.011, 0.026, 0.08, 0.153, 0.212, 0.262, 0.315, 0.365, 0.416, 0.469, 0.52, 0.569, 0.63, 0.6975]
201     cd_m6 = [0.6975, 0.63, 0.578, 0.525, 0.469, 0.415, 0.361, 0.323, 0.285, 0.246, 0.191, 0.128, 0.07, 0.026, 0.0125, 0.0085, 0.008,
202            0.0085, 0.011, 0.028, 0.073, 0.122, 0.179, 0.231, 0.283, 0.328, 0.358, 0.412, 0.467, 0.521, 0.576, 0.63, 0.6975]
203
204     fitted_curve_cl = interpolate.interpdl(alpha, cl_m4)
205     fitted_curve_cd = interpolate.interpdl(alpha, cd_m4)
206
207     alpha_high = [-50, -48, -46, -44, -42, -40, -38, -36, -34, -32, -30, -28, -26, -24, -22, -20, -18, -16, -14, -12,
208            -10, -8, -6, -4, -2, 0, 2, 4, 6, 8, 10, 12, 14, 16, 18, 20, 22, 24, 26, 28,
209            30, 32, 34, 36, 38, 40, 42, 44, 46, 48, 50]
210
211     cl_HighAngle = [-0.675, -0.7075, -0.74, -0.7725, -0.805, -0.8375, -0.87, -0.9025, -0.935, -0.9675, -1.0, -0.996, -0.9,
212            -0.998, -0.984, -0.98, -0.976, -0.972, -1.07, -0.724, -0.37, -0.19, -0.39, -0.45, -0.19, 0.03,
213            0.243, 0.46, 0.67, 0.89, 1.1, 1.25, 1.1, 0.98, 0.9828, 0.9856, 0.9884, 0.9912, 0.994,
214            0.997, 1.0, 0.9675, 0.935, 0.9025, 0.87, 0.8375, 0.805, 0.7725, 0.74, 0.7075, 0.675]
215     cd_HighAngle = [1.335, 1.2625, 1.19, 1.1175, 1.045, 0.9725, 0.9, 0.8325, 0.765, 0.6975, 0.63, 0.562, 0.488,
216            0.417, 0.34, 0.267, 0.195, 0.12, 0.045, 0.018, 0.012, 0.008, 0.00775, 0.0075, 0.0075, 0.0075,
217            0.008, 0.085, 0.09, 0.11, 0.017, 0.025, 0.145, 0.23, 0.293, 0.345, 0.4, 0.455, 0.507,
218            0.56, 0.63, 0.6975, 0.765, 0.8325, 0.9, 0.9725, 1.045, 1.1175, 1.19, 1.2625, 1.335]
219
220     fitted_curve_cl_HighAngle = interpolate.interpdl(alpha_high, cl_HighAngle)
221     fitted_curve_cd_HighAngle = interpolate.interpdl(alpha_high, cd_HighAngle)
222
223     trim = 1 # =0(input A1s, B1s), =1(calculate A1s, B1s to make a1=b1=0)
224     aero = 0 # =0(linear), =1(table)
225
226     omg = 27 #rad/s
227     r_rotor = 8.178 #m
228     r_cg = 5.32 #m
229     e = 0.381 #m
230     r_a = 4.7 #m
231     S = 3.36 #m^2
232     rho = 1.225 #kg/m^3
233
234     alh = -5.2 * np.pi / 180 #rad
235     MT = 0.65
236     mu = 0.25
237     Vc = mu * 340 * MT #m/s
238     Vs = Vc * np.tan(alh)
239
240     th0 = 8 * np.pi / 180 #rad
241
242     #A1si, B1si初期値

```

第1報(9)式の逆  
第1報(9)式の逆  
第1報(9)式の逆

表3  
表3  
表3  
表3  
表3/第1報(41)式  
表3  
表3

表2(3行目)  
表1  
表2  
(5)式

表2(3行目)

```

243 A1si = -3.4 * np.pi / 180 #rad
244 B1si = 4.0 * np.pi / 180 #rad
245
246 # モデルを定義
247 M, D, K = model(omg, r_cg, e)
248
249 # 解析時間
250 count = 60 #1周期ごとに計算するデータの数
251 dt = 2 * np.pi / omg / count
252 t_max = 50
253 t = np.arange(0, t_max, dt)
254 ts = t.reshape(int(t_max / dt + 1), 1)
255
256 x1 = np.cos(omg * ts)
257 x2 = np.sin(omg * ts)
258 ones = np.ones(len(x1))
259 ones = ones.reshape(len(x1), 1)
260 X = np.concatenate([ones, x1, x2], 1)
261
262 # 初期条件
263 x0 = [0.001, 0.001]
264 v0 = [ 0.0, 0.0]
265
266 date = datetime.datetime.now().strftime('%m%d')
267
268 filename = date+'_alh'+str(round(alh*180/np.pi, 1))+'_th0'+str(round(th0*180/np.pi, 1))
269
270 d = 0.1 * np.pi / 180 #rad
271
272 j = 0
273 itr = 0
274
275 print('初期値:A1s='+str(round(A1si * 180 / np.pi, 2))+ ' B1s='+str(round(B1si * 180 / np.pi, 2)))
276
277 # a1_i, b1_i
278 A1s = A1si
279 B1s = B1si
280 var = np.concatenate([x0, v0])
281 var = odeint(f, var, t, args=(M, D, K, omg, r_a, e, Vc, Vs, j, th0, A1s, B1s, S, rho, aero))
282 BetaCoef = Beta_Coef()
283 a1_i = BetaCoef[0, 1]
284 b1_i = BetaCoef[0, 2]
285 abi = np.array([a1_i, b1_i])
286
287 while np.any(abs(abi) > 0.0005) and trim == 1 :
288
289     # a1_Bj, b1_Bj
290     A1s = A1si
291     B1s = B1si + d
292     var = np.concatenate([x0, v0])
293     var = odeint(f, var, t, args=(M, D, K, omg, r_a, e, Vc, Vs, j, th0, A1s, B1s, S, rho, aero))
294     BetaCoef = Beta_Coef()
295     a1_Bj = BetaCoef[0, 1]
296     b1_Bj = BetaCoef[0, 2]
297     time.sleep(0.1)
298
299     # a1_Aj, b1_Aj
300     A1s = A1si + d
301     B1s = B1si
302     var = np.concatenate([x0, v0])
303     var = odeint(f, var, t, args=(M, D, K, omg, r_a, e, Vc, Vs, j, th0, A1s, B1s, S, rho, aero))
304     BetaCoef = Beta_Coef()
305     a1_Aj = BetaCoef[0, 1]
306     b1_Aj = BetaCoef[0, 2]
307     time.sleep(0.1)
308
309     # a1_j, b1_j
310     A1s = A1si + d
311     B1s = B1si + d
312     var = np.concatenate([x0, v0])
313     var = odeint(f, var, t, args=(M, D, K, omg, r_a, e, Vc, Vs, j, th0, A1s, B1s, S, rho, aero))
314     BetaCoef = Beta_Coef()
315     a1_j = BetaCoef[0, 1]
316     b1_j = BetaCoef[0, 2]
317     time.sleep(0.1)
318
319     P = np.array([[ (a1_Bj - a1_i) / d, (a1_Aj - a1_i) / d],
320                  [(b1_Bj - b1_i) / d, (b1_Aj - b1_i) / d]])
321
322     P_inv = np.linalg.inv(P)
323     dABi = - P_inv @ abi
324
325     # 更新
326     B1si = B1si + 0.3 * dABi[0]
327     A1si = A1si + 0.3 * dABi[1]
328
329     # a1_i, b1_i
330     A1s = A1si
331     B1s = B1si
332     var = np.concatenate([x0, v0])
333     var = odeint(f, var, t, args=(M, D, K, omg, r_a, e, Vc, Vs, j, th0, A1s, B1s, S, rho, aero))
334     BetaCoef = Beta_Coef()
335     a1_i = BetaCoef[0, 1]
336     b1_i = BetaCoef[0, 2]
337     abi = np.array([a1_i, b1_i])
338     time.sleep(0.1)
339
340     a1b1 = np.array([[a1_j, b1_j]])
341     itr = itr + 1
342     print('while itr ='+str(itr), ' A1s='+str(round(A1si*180/np.pi, 3)),
343           ' B1s='+str(round(B1si*180/np.pi, 3)), ' a1, b1: '+str(abi*180/np.pi))

```

表2(3行目)  
表2(3行目)

第1報(34)式

(15)式

(15)式

(14)式

(14)式

(13)式

(13)式

```

344
345 A1sB1s = np.array([[A1si, B1si]])
346 a1b1 = np.array([a1_i, b1_i])
347 np.savetxt(filename+'_A1sB1s.txt', A1sB1s)
348 np.savetxt(filename+'_a1b1.txt', a1b1)
349 time.sleep(0.1)
350
351 for j in [0, 1, 2, 3]:
352     A1s = A1si
353     B1s = B1si
354
355     var = np.concatenate([x0, v0])
356
357     # 微分方程式の近似解法(過渡応答)
358     var = odeint(f, var, t, args=(M, D, K, omg, r_a, e, Vc, Vs, j, th0, A1s, B1s, S, rho, aero))
359
360     Fw_list = []
361     Fb_list = []
362     Fhb_list = []
363     Fhr_list = []
364     Fhf_list = []
365
366     # varを元にvar2を計算
367     for i in np.arange(0, len(var)):
368         Fw, Fb, Fhb, Fhr, Fhf = f2(var[i], t[i], omg, r_a, e, Vc, Vs, j, th0, A1s, B1s, S, rho, aero)
369         Fw_list.append(Fw)
370         Fb_list.append(Fb)
371         Fhb_list.append(Fhb)
372         Fhr_list.append(Fhr)
373         Fhf_list.append(Fhf)
374
375     var_j = np.array(var)
376     Fw_j = np.array(Fw_list)
377     Fb_j = np.array(Fb_list)
378     Fhb_j = np.array(Fhb_list)
379     Fhr_j = np.array(Fhr_list)
380     Fhf_j = np.array(Fhf_list)
381
382     Q = 0.75 * r_rotor * Fhr_j[:, 0] # Q = 0.5 * r_rotor ** 2 * Fhr_j[:, 0] 2025/06/16 nakayama 表3/第1報(52)式
383     Q_j = np.array([Q])
384     Q_j = Q_j.reshape(int(len(Fhr_list)), 1)
385
386     if j == 0: # j=1のときj1のデータを保存
387         BetaCoef_j1 = Beta_Coef()
388         np.savetxt(filename+'_BetaCoef.txt', BetaCoef_j1)
389
390         var_all = var_j
391         Fw_all = Fw_j
392         Fb_all = Fb_j
393         Fhb_all = Fhb_j
394         Fhr_all = Fhr_j
395         Fhf_all = Fhf_j
396         Q_j_all = Q_j
397         Q_all = Q_j
398
399     else:
400         var_all = np.hstack((var_all, var_j))
401         Fw_all = np.hstack((Fw_all, Fw_j))
402         Fb_all = np.hstack((Fb_all, Fb_j))
403         Fhb_all = np.hstack((Fhb_all, Fhb_j))
404         Fhr_all = np.hstack((Fhr_all, Fhr_j))
405         Fhf_all = np.hstack((Fhf_all, Fhf_j))
406         Q_j_all = np.hstack((Q_j_all, Q_j))
407         Q_all += Q_j # Q_all += Q_j 2025/06/16 nakayama
408
409 # ブレード1枚ごとの計算結果
410 # np.savetxt(date+'_angle_j.txt', np.concatenate([ts, var_all], 1)) # [t, j1ξ, j1β, j1ξ', j1β', j2ξ, j2β, j2ξ'
411 # np.savetxt(date+'_Fw_j.txt', np.concatenate([ts, Fw_all], 1)) # [t, j1Fwx, j1Fwy, j1Fwz, j2Fwx, j2Fwy, j2Fwz,
412 # np.savetxt(date+'_Fb_j.txt', np.concatenate([ts, Fb_all], 1)) # [t, j1Fbx, j1Fby, j1Fbz, j2Fbx, j2Fby, j2Fbz,
413 # np.savetxt(date+'_Fhb_j.txt', np.concatenate([ts, Fhb_all], 1)) # [t, j1Fhbx, j1Fhby, j1Fhbz, j2Fhbx, j2Fhby, j,
414 # np.savetxt(date+'_Fhr_j.txt', np.concatenate([ts, Fhr_all], 1)) # [t, j1Fhrx, j1Fhry, j1Fhrz, j2Fhrx, j2Fhry, j,
415 # np.savetxt(date+'_Fhf_j.txt', np.concatenate([ts, Fhf_all], 1)) # [t, j1Fhfx, j1Fhfy, j1Fhfz, j2Fhfx, j2Fhfy, j,
416 # np.savetxt(date+'_Q_j.txt', np.concatenate([ts, Q_j_all], 1)) # [t, j1Q, j2Q, j3Q, j4Q]
417
418 # 4枚のブレードのFx, Fy, Fzをそれぞれ合計してローターの空気を求める
419 Fx_h = Fhf_all[:, 0] + Fhf_all[:, 3] + Fhf_all[:, 6] + Fhf_all[:, 9]
420 Fy_h = Fhf_all[:, 1] + Fhf_all[:, 4] + Fhf_all[:, 7] + Fhf_all[:, 10]
421 Fz_h = Fhf_all[:, 2] + Fhf_all[:, 5] + Fhf_all[:, 8] + Fhf_all[:, 11]
422
423 Fx = Fx_h * np.cos(alh) + Fz_h * np.sin(alh)
424 Fy = Fy_h
425 Fz = Fx_h * np.sin(alh) + Fz_h * np.cos(alh)
426 Fx = Fx.reshape(len(Fhf_all), 1)
427 Fy = Fy.reshape(len(Fhf_all), 1)
428 Fz = Fz.reshape(len(Fhf_all), 1)
429 F_all = np.concatenate([Fx, Fy, Fz], 1)
430
431 angle_j1 = np.array(var_all[:, 0:2]) # j1の[ξ, β] [0:2]
432 angle_j2 = np.array(var_all[:, 4:6]) # j2の[ξ, β] [4:6]
433 angle_j3 = np.array(var_all[:, 8:10]) # j3の[ξ, β] [8:10]
434 angle_j4 = np.array(var_all[:, 12:14]) # j4の[ξ, β] [12:14]
435 angle_all = np.hstack((angle_j1, angle_j2, angle_j3, angle_j4))
436
437 np.savetxt(filename+'_angle.txt', np.concatenate([angle_all], 1)) # [j1ξ, j1β, j2ξ, j2β, j3ξ, j3β, j4ξ, j4β,
438 np.savetxt(filename+'_Fw.txt', np.concatenate([Fw_all], 1)) # [Fwx, Fwy, Fwz] 相対風座標系
439 np.savetxt(filename+'_Fb.txt', np.concatenate([Fb_all], 1)) # [Fbx, Fby, Fbz] ブレード固定座標系
440 np.savetxt(filename+'_Fhb.txt', np.concatenate([Fhb_all], 1)) # [Fhbx, Fhby, Fhbz] ハブブレード中間座標系
441 np.savetxt(filename+'_Fhr.txt', np.concatenate([Fhr_all], 1)) # [Fhrx, Fhry, Fhrz] ハブ回転座標系
442 np.savetxt(filename+'_Fhf.txt', np.concatenate([Fhf_all], 1)) # [Fhfx, Fhfy, Fhfz] ハブ非回転座標系
443 np.savetxt(filename+'_F.txt', np.concatenate([F_all], 1)) # [Fx, Fy, Fz] 慣性系
444 np.savetxt(filename+'_Q.txt', np.concatenate([Q_all], 1)) # [Q] トルク

```